

σύγχρονη

20ος χρόνος  
κυκλοφορίας

τεύχος 238 • Μάρτιος 2012

# ΤΕΧΝΙΚή

ΕΠΙΘΕΩΡΗΣΗ

electrical



## Ερευνα & Τεχνολογία

Φ/Β στοιχείων λεπτών  
υμενίων σε βάση χαλκοπυρίτη



Καρνεάδου 20, 163 46 Ηλιούπολη

Μετασχηματιστές πολύ<sup>+</sup>  
χαμηλών απωλειών

Δρόμος για ένα ξεχωριστό<sup>+</sup>  
δίκτυο ρεύματος

Σύστημα<sup>+</sup>  
ασφαλούς ανύψωσης

# Έρευνα και Τεχνολογία Φ/Β στοιχείων ήξπιών υμενίων σε βάση χαλκοπυρίτη

## Εναλλακτικές τεχνολογίες ανάπτυξης Φ/Β στοιχείων

**Η** σημερινή αγορά φωτοβολταϊκών (Φ/Β) στοιχείων κυριαρχείται κυρίως από την τεχνολογία πυριτίου (μονοκρυσταλλικό, πολυκρυσταλλικό, άμορφο ή συνδυασμός τους). Η περαιτέρω αύξηση της απόδοσής τους (σήμερα 20 – 25%) συναντά σημαντικά εμπόδια, τόσο στην ανάπτυξη των υλικών, όσο και στην παραγωγή των πλαισίων τους, λόγω της δυσκολίας επεξεργασίας του υλικού μέχρι το τελικό επιθυμητό αποτέλεσμα.

Οι παραπάνω λόγοι οδήγησαν τους ερευνητές σε αναζήτηση εναλλακτικών τεχνολογιών ανάπτυξης φωτοβολταϊκών στοιχείων, που να επιδιώκουν μείωση του πάχους των Φ/Β πλαισίων και συνεπώς του συνοπλικού βάρους της κατασκευής, καθώς και του κόστους παραγωγής τους. Αυτές τις προδιαγραφές μπόρεσαν να επιτευχθούν με στροφή της τεχνολογίας στη χρήση των λεπτών γηρενίων.

Οι νέες τεχνολογίες βασίζονται σήμερα σε λεπτά υμένια ημιαγώγιμων χαλκοπυρίτων με καλή απορρόφηση του πλιακού φάσματος (Σχήμα 1) και πάνω της τάξης μερικών μικρών ( $1\mu = 10^{-3}$  mm). Οι χαλκοπυρίτες είναι σύνθετες ενώσεις χαλκού Cu,

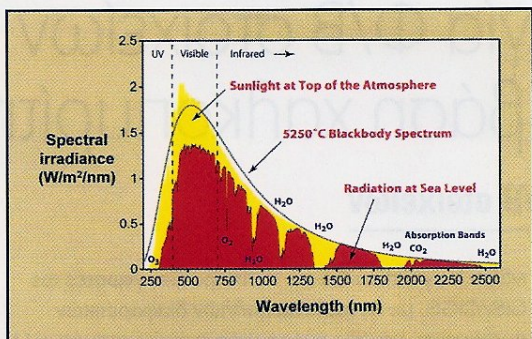
ινδίου In, γαλλίου Ga και σεληνίου Se, γνωστές ως CIS/CIGS, με δυνατότητα πολλών διαφορετικών συστάσεων, μεγάλο εύρος ενεργειακών χασμάτων (1 – 1,7 eV) και βαθμό απόδοσης στοιχείου ~ 20% [1] και πάνετ ~13% [2].

Τέτοιο φωτοβολταϊκό στοιχείο έχει τη δομή Mo/CIGS/B/ZnO/AZO, όπου Mo: υμένιο μολύβδαινου, ως οπίσθια πλεκτρική επαφή – ανακλαστήρας, CIGS: απορροφητής – ενεργή περιοχή Φ/Β στοιχείου, B: μεταβατικό στρώμα (π.χ. ZnSe), ZnO: λεπτό υμένιο διαφανούς αγώγιμου οξειδίου, διαπερατό από την πλιακή ακτινοβολία, AZO (Al-doped ZnO): εμπρόσθια πλεκτρική επαφή. (Σχήμα 2). Ένα άλλο μεγάλο πλεονέκτημα της τεχνολογίας των λεπτών υμενίων είναι η επίτευξη της πλεκτρικής διασύνδεσης των Φ/Β στοιχείων, μέσω της εγχάραξης των διαφόρων στρωμάτων. Η

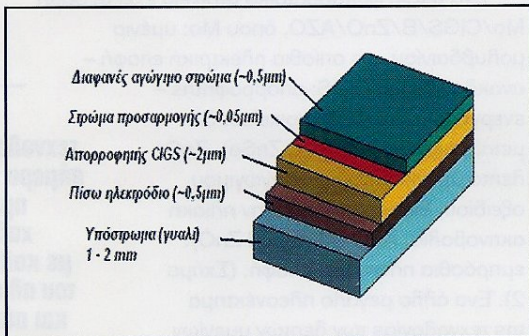
εγχάραξη των λεπτών υμενίων αποτελεί το βήμα κλειδί για τη μετάβαση από μικρές και μεμονωμένες πλιακές

**Οι νέες τεχνολογίες βασίζονται σήμερα σε λεπτά υμένια ημιαγώγιμων χαλκοπυρίτων με καλή απορρόφηση του πλιακού φάσματος και πάνω της τάξης μερικών μικρών ( $1\mu = 10^{-3}$  mm).**





Σχήμα 1: Το φάσμα του πλιακού φωτός.



Σχήμα 2: Τυπική σχηματική παράσταση ενός φωτοβολταικού στοιχείου ήεπιτών υμενίων χαλκοπυρίτη.

**Η εναπόθεση του ήεπιτού υμενίου από μολυβδανίο έγινε με την τεχνική της εναπόθεσης με παλμικό laser υπό συνθήκες κενού. Είναι μία τεχνική που επιτρέπει την εναπόθεση σχεδόν κάθε υλικού πάνω σε επιλεγμένο υπόστρωμα.**

κυψέλες, στη μονοιλιθική τους ολοκλήρωση σε μεγάλης επιφάνειας φωτοβολταικά πλαίσια.

Με βάση το Σχ. 2 ακολουθεί η παρουσίαση της πρόσφατης δραστηριότητας του Εργαστηρίου Τεχνικών και Εφαρμογών Laser του ΕΙΕ σε συνεργασία με τον Τομέα Τεχνολογίας των Κατεργασιών της Σχολής Μηχανολόγων Μηχανικών του ΕΜΠ, για την ανάπτυξη ενός εργαστηριακού πρωτούμου μονοιλιθικού Φ/Β στοιχείου ήεπιτών υμενίων. Οι ειδικητικές ομάδες βρίσκονται σε στενή συνεργασία και με τα Πανεπιστήμια Tokat και Trapzon της Τουρκίας, όπου αναπτύχθηκαν οι απορροφητές CIGS.

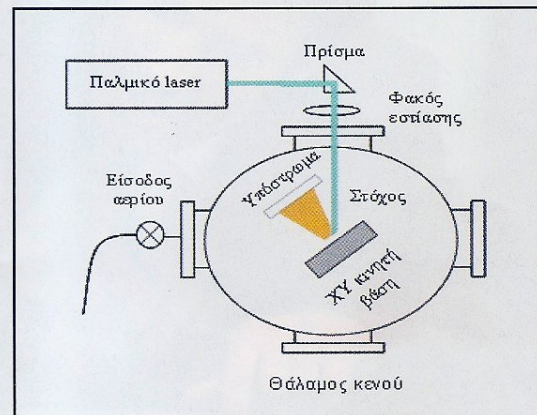
### Εναπόθεση οπίσθιας πλεκτρικής επαφής από μολυβδανίο (Mo)

Το πίσω ηλεκτρόδιο αποτελείται από μολυβδανίο (Mo), παρά τη χαμηλή ανακλαστικότητα που παρουσιάζει λόγω του σκούρου του χρώματος. Η επιλογή του βασίζεται σε απαιτήσεις που επιβάλλονται

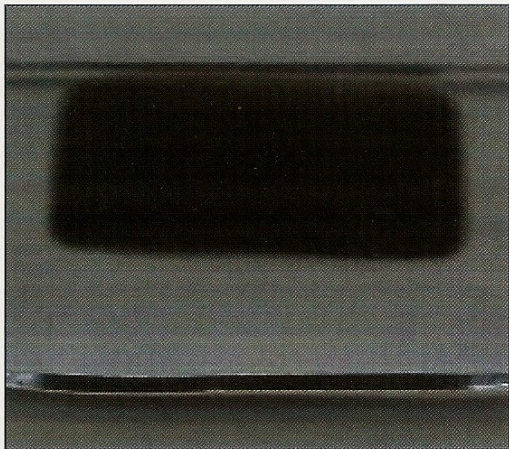
από τη διεργασία και αφορά κατασκευαστικούς λόγους. Το Mo παρουσιάζει σταθερότητα σε υψηλές θερμοκρασίες λόγω του μεγάλου σημείου τήξεώς του (2896 K) και είναι ανθεκτικό στις συνθήκες πρασκευής του CIGS οι οποίες είναι ιδιαίτερα διαβρωτικές (π.χ. Χημική Εναπόθεση Ατμών – CVD) [3,4]. Επιπλέον, το Mo ενώνεται με το σελήνιο (Se), δημιουργώντας ένα πολύ ηεπιτό στρώμα MoSe<sub>2</sub>, το οποίο παρουσιάζει μικρή πλεκτρική αντίσταση (~13.7 μΩcm), η οποία απαιτείται για να επιτυχάνεται μεταφορά του πλ. ρεύματος.

Η εναπόθεση του ήεπιτού υμενίου από μολυβδανίο έγινε με την τεχνική της εναπόθεσης με παλμικό laser υπό συνθήκες κενού (pulsed laser deposition – PLD). Είναι μία τεχνική που επιτρέπει την εναπόθεση σχεδόν κάθε υλικού πάνω σε επιλεγμένο υπόστρωμα (γυαλί, πυρίπιο, πολυμερές κλπ). Στην συγκεκριμένη περίπτωση χρησιμοποιήθηκαν ως υπόστρωματα γυαλί μικροσκοπίου και πολυμερές (PET) σε διάφορες θερμοκρασίες. Ένα Nd:YAG laser (στα 355 nm, με 10 nsec διάρκεια παθμού) εστιάζεται πάνω σε ένα έλασμα από Mo (στόχος) μέσα σε θάλαμο κενού (5 x 10<sup>-6</sup> mbar). Ο στόχος εξαερούται και το υλικό εναποτίθεται στο υπόστρωμα. (βλ. εικ. 1) Με τις επιλεγμένες συνθήκες της εναπόθεσης, το ήεπιτό υμένιο Mo είχε πολύ καλή πρόσφυση και στα δύο υπόστρωματα.

Ο στόχος του Mo τοποθετήθηκε πάνω σε κινητή βάση που εκτελεί κινήσεις κατά XY με την βοήθεια δύο βηματικών κινητήρων που προγραμματίζονται από ένα Η/Y. Με τον τρόπο αυτό αποφεύγεται η διάτροση του στόχου και η καταστροφή του. Επιπλέον είναι δυνατή η τοποθέτηση περισσοτέρων του ενός στόχων και με την κατάλληλη επιλογή τους επιτυχάνεται εναπόθεση περισσοτέρων του ενός ήεπιτού υμενίου διαδοχικά με διαφορετική κάθε φορά σύνθεση και επομένως ιδιότητες.



Σχήμα 3: Σχηματική παράσταση της τεχνικής PLD



**Εικόνα 1: Λεπτό υμένιο μολυβδαινίου σε υπόστρωμα γυαλιού.**

### Εναπόθεση απορροφητή CIGS/μεταβατικού στρώματος ZnSe

Όσον αφορά τον απορροφητή, όπως προαναφέρθηκε, είναι ένα τετραμερές υλικό, το οποίο αποτελείται από στοιχεία των ομάδων I, III και IV του περιοδικού πίνακα. Τα υλικά αυτά βρίσκουν εφαρμογή στην Φ/Β τεχνολογία, κυρίως λόγω των μεγάλων συντελεστών απορρόφησης (high optical absorption coefficients) και των πλεκτρικών τους χαρακτηριστικών [5]. Επιπρόσθετα, ένα πλεονέκτημα των απορροφητών αυτής της κατηγορίας είναι η μη τοξικότητα, σε αντίθεση με το ανταγωνιστικό CdTe που το καθιστά και μη αποδεκτό.

Τα λεπτά υμένια CIGS, κατασκευάστηκαν στην Τουρκία με τη μέθοδο της Εξάχνωσης με Δέσμη Ηλεκτρονίων, ώστε να εξευρεθεί η βέλτιστη στοιχειομετρία και υποβλήθηκαν σε διαφορετικές θερμοκρασίες ανόπτησης, για να μελετηθεί ο τρόπος με τον οποίο επηρεάζονται οι ιδιότητες των υμενίων κάθε φορά. Τέλος, πραγματοποιήθηκαν οπικές μετρήσεις, για να υπολογιστεί το ενεργειακό χάσμα, ενώ παράλληλα μελετήθηκε η κρυσταλλικότητα με Περιθλαστικές Ακτίνες X (XRD) και η μορφολογία της επιφάνειας τους με Μικροσκοπία Ατομικής Δύναμης (AFM).

Η απορρόφηση των υμενίων CIGS καταγράφηκε στην φασματική περιοχή 1300–300 nm και προέκυψε το διάγραμμα του σχήματος 4 (Tauc plot). Από το

διάγραμμα αυτό προκύπτει ότι το ενεργειακό χάσμα είναι στην περιοχή 1.1–1.2 eV, ανάλογα με την θερμοκρασία ανόπτησης. Επομένως, το υμένιο CIGS απορροφά για μήκη κύματος  $\lambda < 1100$  nm, δηλαδή το μεγαλύτερο μέρος της ηλιακής ακτινοβολίας, όπως φαίνεται και στο σχήμα 1, γεγονός που αυξάνει το βαθμό απόδοσης του Φ/Β στοιχείου [6].

Όσον αφορά στη μορφολογία της επιφάνειας των λεπτών υμενίων, διαπιστώθηκε ότι με αύξηση της θερμοκρασίας ανόπτησης, αυξάνεται αισθητά και η τραχύτητα (Σχήμα 5). Το γεγονός αυτό είναι επιθυμητό, καθώς (α) καθιστά ευκολότερη και με καλύτερη πρόσφυση την εναπόθεση του επόμενου στρώματος και (β) αυξάνεται η σκέδαση του φωτός και, επομένως, η απορρόφηση. Επιπλέον παρατηρήθηκε ότι με αύξηση της θερμοκρασίας ανόπτησης, τα λεπτά υμένια που παρουσίαζαν

πλιγότερες ρωγμές ήταν και περισσότερο ομογενή.

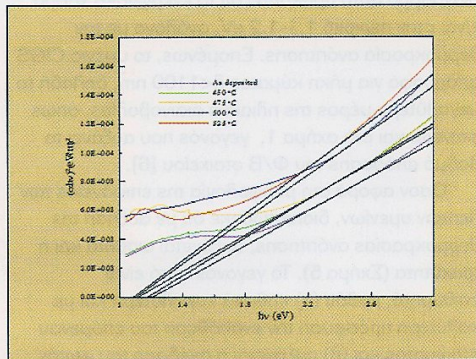
Τέλος, η καταγραφή φασμάτων περιθλαστικών (XRD) έδειξε ότι τα υμένια που αναπτύχθηκαν, έχουν κρυσταλλική και όχι άμορφη δομή και επιπλέον διαπιστώθηκε ότι η κρυσταλλικότητα αυξάνει με την θερμοκρασία ανόπτησης.

### Τα λεπτά υμένια CIGS, κατασκευάστηκαν στην Τουρκία με τη μέθοδο της Εξάχνωσης με Δέσμη Ηλεκτρονίων, ώστε να εξευρεθεί η βέλτιστη στοιχειομετρία και υποβλήθηκαν σε διαφορετικές θερμοκρασίες ανόπτησης.

#### AZO και IZO

Το οξείδιο του ψευδαργύρου ZnO επιπλέεται στην Φ/Β τεχνολογία για να αντικαταστήσει το υλικό ITO (90% In<sub>2</sub>O<sub>3</sub> + 10% SnO<sub>2</sub>) το οποίο είναι πολύ ακριβό λόγω της σπανιότητας του ινδίου. Το ZnO είναι ημιαγωγός τύπου n (οι φορείς πλεκτρισμού είναι πλεκτρόνια), μη τοξικό, σταθερό, έχει σχετικά καλή αγωγιμότητα και είναι διαπερατό στο ηλιακό φως στην περιοχή του ορατού και κοντινού υπεριώδους (για  $\lambda > 375$  nm, βλ. φάσμα εκπομπής ηλιακού φωτός, σχήμα 1).





Σχήμα 4: Διάγραμμα Tauc για τον προσδιορισμό του ενεργειακού χάσματος των υμενίων CIGS.

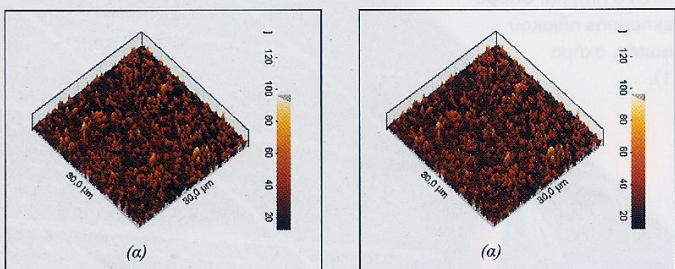
Η αγωγιμότητα του ZnO μπορεί να βελτιωθεί με εμφύτευση εξωτερικών προσμίξεων με άτομα της 3ης ομάδας του περιοδικού συστήματος (Al, Ga, In). Η συγκέντρωση και το είδος της πρόσμιξης, εκτός από την πλεκτρική αγωγιμότητα καθορίζει σε σημαντικό βαθμό την διαπερατότητα, την δομή και την μορφολογία της επιφάνειας του ZnO. Στο Σχ. 6 παρουσιάζεται μια καινοτόμος τεχνική που αναπτύχθηκε στο εργαστήριο του ΕΙΕ το 2006 και επιτρέπει το έλεγχο της συγκέντρωσης της εξωτερικής πρόσμιξης κατά την διάρκεια της εναπόθεσης του ZnO. Η εναπόθεση έγινε πάνω σε εύκαμπτο υπόστρωμα PET [7]. Ο χρονισμός των δύο συστημάτων laser ελέγχεται εξωτερικά με την βοήθεια μίας γεννήτριας παλημά 10 Hz. Συγκεκριμένα, δέσμην 1 προέρχεται από ένα excimer laser (240 nm, 10 nsec) σταθερής ισχύος και χρησιμοποιείται για την εναπόθεση του υμενίου ZnO. Η δέσμη 2 προέρχεται από ένα Nd:YAG laser και χρησιμοποιείται για την εναπόθεση της πρόσμιξης. Η ισχύς της δέσμης 2 καθορίζει την συγκέντρωση του πρόσμιξης μέσα στο πλέγμα του ZnO. Παλαιότερες μετρήσεις [8] έδειξαν

ότι υπάρχει μια γραμμική σχέση μεταξύ της ισχύος της δέσμης 2 και της συγκέντρωσης του Al μέσα στο πλέγμα του ZnO (AZO).

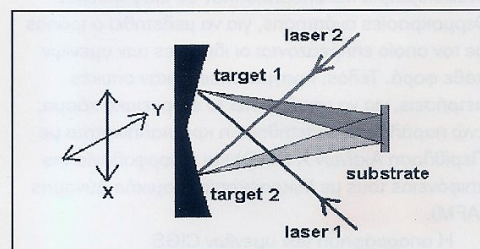
Στη φωτογραφία της εικόνας 2 φαίνεται η περιοχή του πλάσματος που προέρχεται από τους δύο στόχους. Η σκιά στο κέντρο οφείλεται σε σωλήνα, ο οποίος εισάγει αέριο οξυγόνο στην περιοχή του πλάσματος. Το οξυγόνο είναι απαραίτητο για την οξείδωση των σωματιδίων Zn και Al και την εναπόθεση του υμενίου AZO στο υπόστρωμα. Τυπικές τιμές της πίεσης (δυναμική πίεση) του οξυγόνου είναι 10-30 Pa. Με ανάλογο τρόπο γίνεται και η ανάπτυξη του υμενίου με εμφύτευση ινδίου (IZO). Τα ποσοστά των προσμίξεων είναι μερικά %.

Στό σχήμα 7 παρουσιάζονται τα συγκέντρωτικά αποτελέσματα των μετρήσεων διαπερατότητας των υμενίων ZnO, AZO και IZO. Το υμένιο ZnO έχει μία μέση διαπερατότητα ~95 %. Η αιρότητα ελάττωση στην περιοχή για μήκη κύματος λ<380 nm οφείλεται στην απορρόφηση του ZnO. Η εμφύτευση ινδίου έχει ως αποτέλεσμα την δραστική ελάττωση της μέσης διαπερατότητας σε ποσοστά 30-40 %. Αναφορικά με τα υμένια AZO, το δείγμα που αναπτύχθηκε με φωτεινή ροή 0.7 J/cm<sup>2</sup> έχει την μεγαλύτερη διαπερατότητα ~90%.

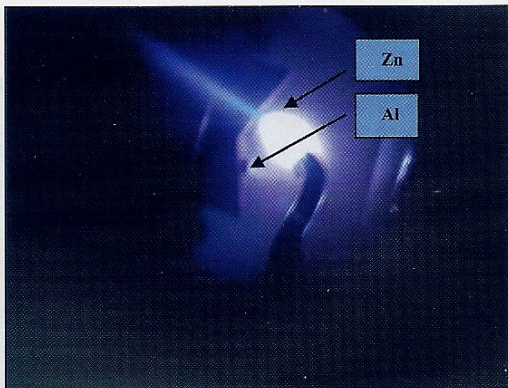
Στόν πίνακα 1 παρουσιάζονται συνοπτικά οι οπικές και πλεκτρικές ιδιότητες των δειγμάτων. Όπως φαίνεται, το δείγμα AZO με την μεγαλύτερη διαπερατότητα παρουσιάζει και την μικρότερη πλεκτρική ανίσταση όλων. Επιπλέον, το ενεργειακό του χάσμα έχει την μεγαλύτερη τιμή 3.52 eV. Αυτό σημαίνει ότι η διαπερατότητά του αυξάνεται στην περιοχή του κοντινού υπεριώδους. Στην Φ/Β τεχνολογία, ο δείκτης καταλήπτοτης (Figure of Merit) ορίζεται ως ο λόγος της μέσης διαπερατότητας T προς την ειδική ανίσταση του υπικού  $r = F/T$ . Συμπερασματικά, το υμένιο AZO που εναποτέθηκε με 0.7 J/cm<sup>2</sup> είναι το πλέον καταληπτό για τους σκοπούς αυτής της ερευνητικής προσπάθειας.



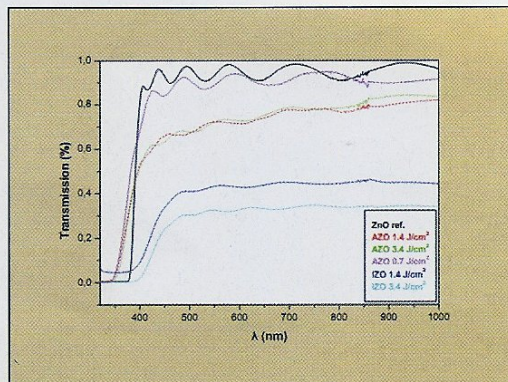
Σχήμα 5: Η τρισδιάστατη απεικόνιση της επιφάνειας των θεπών υμενίων CIGS (a) χωρίς ανόπτηση και (b) με ανόπτηση στους 525 °C.



Σχήμα 6: Τεχνική εναπόθεσης ZnO με χρήση δύο δεσμών laser και δύο στόχων για την ελεγχόμενη εμφύτευση εξωτερικών προμίξεων.



**Εικόνα 2:** Κάτωψη της περιοχής αποδόμησης των δύο στόχων. Η έντονη εκπομπή είναι το πλάσμα του στόχου Zn. Η μαύρη σκιά στο μέσον είναι ο χάλκινος σωλήνας εισόδου του αερίου οξυγόνου στην περιοχή του πλάσματος.



**Σχήμα 7:** Διαπερατότητα των υμενίων ZnO, Al:ZnO και In:ZnO με διαφορετικά ποσοστά της πρόσμιχης Al και In.

### Εγχάραξη με laser

Για τη μετάβαση από ένα απλό Φ/Β στοιχείο (cell) σε Φ/Β πλαίσιο (module), τα διάφορα στρώματα μονώνονται και συνδέονται μεταξύ τους ηλεκτρικά, με κανάλια (scribes), τα οποία επιτυγχάνονται με αφαίρεση του υλικού με χρήση laser (laser scribing). Η διαδικασία περιλαμβάνει την έκθεση των διαφόρων στρωμάτων των θεπτών υμενίων του Φ/Β πλαισίου σε εστιασμένη δέσμη laser, η οποία αποδομεί το υλικό με μεγάλη ακρίβεια και δίνει την δυνατότητα για πολύ μικρού πλάτους κανάλια με τυπικό πλάτος καναλιού 50-60 μμ. Η πρόκλιση είναι η επίτευξη της ηλεκτρική διασύνδεσης των Φ/Β στοιχείων με τη μικρότερη δυνατή απώλεια υλικού, ενώ ένα επιπλέον πλεονέκτημα της μεθόδου είναι ότι το βήμα αυτό δεν θα γίνεται έπειτα από την οιλοκλήρωση της

διαδικασίας κατασκευής των μεμενομένων Φ/Β στοιχείων, όπως γίνεται στις συμβατικές κατασκευές πυριτίου, όπου η εν σειρά διασύνδεση των στοιχείων γίνεται με μίκρο- ηλεκτροσυγκόλληση, αλλά θα εντάσσεται στα πλαίσια της διαδικασίας παραγωγής.

Η σειριακή διασύνδεση των στοιχείων ενός φωτοβολταϊκού πλαισίου φαίνεται στο σχήμα 8,

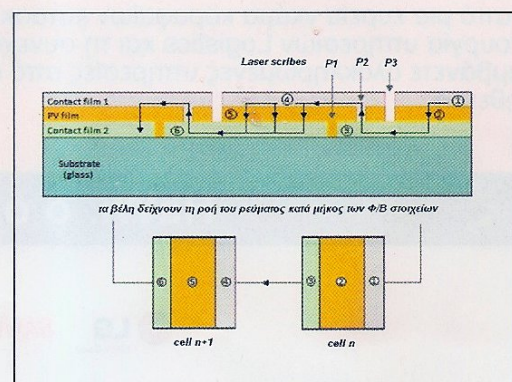
όπου τα κανάλια εξυπηρετούν τις παρακάτω πλειονυμίες:

- P1: χωρίζει τα Φ/Β στοιχεία στο πίσω ηλεκτρόδιο.
- P2: πραγματοποιεί τη σύνδεση με το πρόσθιο ηλεκτρόδιο και καθοδηγεί τη ροή του ρεύματος από το ένα στοιχείο στο άλλο, ενώνοντάς τα.
- P3: κόβει το πρόσθιο ηλεκτρόδιο και μονώνει από πάνω το στοιχείο, ενώ οιλοκληρώνει την διασύνδεση των στοιχείων του Φ/Β πλαισίου.

Τα θεπτά υμένια του Mo υποβλήθηκαν στη διεργασία της μικρο-εγχάραξης με laser, με υπεριώδη ακτινοβολία παλμικού laser Nd:YAG (355 nm, 10 nsec διάρκεια παλμού) με τη διάταξη που φαίνεται στο σχήμα 9: Η απόσταση του εστιακού φακού από το υμένιο είναι καθοριστική για την επίτευξη καναλιού με το επιθυμητό πλάτος.

Αυτό επιτυγχάνεται on-line με την βοήθεια μιας τεχνικής που ονομάζεται φασματοσκοπία πλάσματος επαγομένου από Laser (LIPS- Laser Induced Plasma Spectroscopy) [9]. Μια οπτική ίνα καταγράφει την εκπομπή του πλάσματος μολυβδανίου, η οποία μεγιστοποιείται, για δεδομένη ενέργεια παλμού laser, όταν το θεπτό υμένιο ευρίσκεται στην εστία του φακού. Με την τεχνική αυτή, το κανάλι από την εγχάραξη του θεπτού υμένιου που μετρήθηκε σε οπτικό μικροσκόπιο με πλάτος 47 μμ περίπου, παρουσιάζεται στην εικόνα 3.

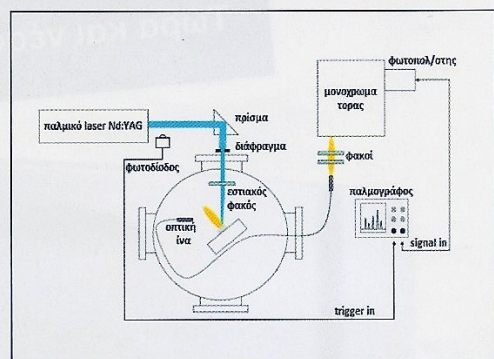
Με την βοήθεια Μικροσκοπίας Ατομικής Δύναμης,



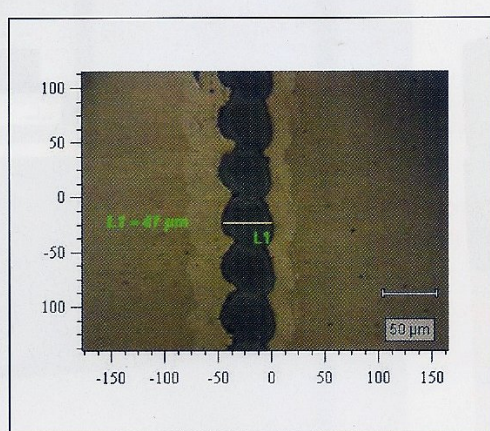
**Σχήμα 8:** Η εν σειρά διασύνδεση των στοιχείων ενός Φ/Β πλαισίου.

**Πίνακας 1.**

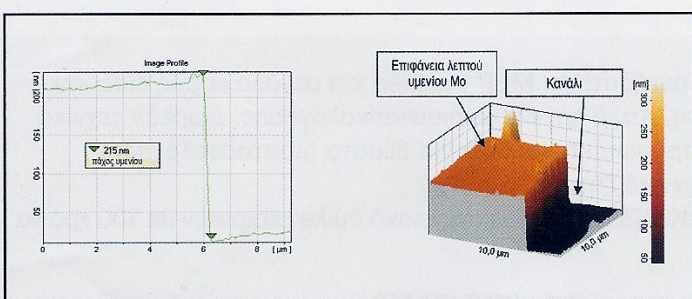
Sample	$F_{355\text{ nm}} (\text{J/cm}^2)$	Thickness (nm)	Resistivity ( $\Omega\text{ cm}$ )	Optical gap (eV)
ZnO (ref.)	—	775 $\pm/-10$	$2 \times 10^3$	3.22
AZO	3.4	726	$1.9 \times 10^2$	3.43
AZO	1.4	625	0.17	3.43
AZO	0.7	600	0.11	3.52
IZO	3.4	—	$5.5 \times 10^2$	2.97
IZO	1.4	—	2	2.94



**Σχήμα 9:** Σχηματική παράσταση διάταξης μικρο-εγχάραξης λεπτών υμενίων.



**Εικόνα 3:** Εγχάραξη λεπτού υμενίου Mo.



**Εικόνα 4:** Τρισδιάστατη απεικόνιση και προφίλ μικρο-κοπής λεπτού υμενίου μολυβδαινίου.

επέγιχθηκε το προφίλ του καναλιού μικροεγχάραξης. Όπως φαίνεται στις εικόνες 4α (δύο διαστάσεις) και 4β (τρεις διαστάσεις), η τομή είναι σχεδόν κάθετη για ένα λεπτό υμένιο Mo πάχους 215 nm. Επομένως, οι πειραματικές συνθήκες που επιλέχθηκαν οδηγούν σε τομές κατάλληλες για την συγκεκριμένη εφαρμογή.

### Συμπεράσματα

Η μέχρι τώρα δραστηριότητα αφορούσε την εναπόθεση και βελτιστοποίηση των παραμέτρων για κάθε ένα από τα λεπτά υμένια χωριστά, που αποτελούν ένα ολοκληρωμένο Φ/Β στοιχείο. Παραλλήλα, έγινε συστηματική μελέτη για την εγχάραξη P1 του Mo και τα αποτελέσματα απεδείχθησαν πολύ ικανοποιητικά. Ήδη έχει ξεκινήσει η εγχάραξη των απορροφητών CIGS τύπου P2 και η βελτιστοποίηση των παραμέτρων για την επάριθμη εναπόθεση της εμπρόσθιας επαφής ZnO/AZO με την τεχνική PLD.

### Βιβλιογραφία

- [1]: I. Repins, M. Conteras, B. Egaas, C. DeHart, J. Scharf, Cl. Perkins, Prog. Photovoltaics Res. Appl 16 (2008) 235.
- [2]: M. Powalla, Proceedings of the 21th European photovoltaic solar energy conference, 2006, p. 1789-95.
- [3]: A.D. Compaan, I. Matulionis and S. Nakade, Opt. Las. Eng (2000) 3415.
- [4]: D.R Lide (Ed.), Handbook of Chemistry and Physics 73th edition, CRC Press (1993).
- [5]: I. El. Chaar et al., Renewable and Sustainable Energy Review 15 (2011) 2465.
- [6]: S. Fiat, P. Koralli, I. Polat, E. Bacaksiz, D. Manolakos, G. Cankaya, M. Kompitsas, 28th International Physics Conference, 6-9 September 2011, Bodrum, Turkey.
- [7]: M. Girtan, M. Kompitsas, R. Mallet and I. Fasaki, Eur. J. Appl. Phys. 51 (2010) 33212.
- [8]: E. György, J. Santiso, A. Giannoudakos, M. Kompitsas, I.N. Mihailescu, D. Pantelica, Appl. Surf. Science 248 (2005) 147.
- [9]: I. Bassiotis, A. Diamantopoulou, A. Giannoudakos, F. Roubani-Kalantzopoulou, M. Kompitsas, Spectrochimica Acta Part B 56 (2001) 671.

**Συγγραφείς:** Π. Κοράλη, Δ.Ε. Μανωλάκος,  
ΕΜΠ/Σχ. Μηχανικών, Αθήνα  
Μ. Κομπίτσας, Εθνικό Ιδρυμα Ερευνών, Αθήνα.  
S. Fiat, University of Tokat, Turkey,  
E. Bacaksiz, University of Trabzon, Turkey.